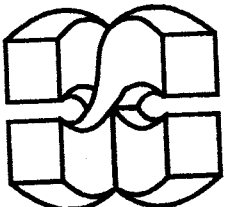




International Meeting on Information Technology
microCAD '97
KHARKOV
12-14 May 1997



PRINTED MATTERS
OF CONFERENCE

Министерство образования Украины
Харьковский государственный политехнический университет

Мишкольцкий университет (Венгрия)

Магдебургский университет (Германия)

**ИНФОРМАЦИОННЫЕ ТЕХНОЛОГИИ:
НАУКА, ТЕХНИКА, ТЕХНОЛОГИЯ,
ОБРАЗОВАНИЕ, ЗДОРОВЬЕ**

Труды
международной научно-технической конференции
12-14 мая 1997 г.

В пяти частях

Часть
четвертая

Харьков 1997

УДК 54+66

Информационные технологии: наука, техника, технология, образование, здоровье: Тр. междунар. науч.-техн. конф., Харьков, 12-14 мая 1997г. В пяти частях. Ч.4. - Харьков, Мишкольц, Магдебург: Харьк. гос. политехн. ун-т, Мишкольц. ун-т, Магдебург. ун-т, 1997. - 448 с.

В четвертой части представлены работы, отражающие актуальные вопросы использования ЭВМ для решения задач разработки и совершенствования химических технологий.

Для научных работников, специалистов, преподавателей, аспирантов, студентов высших учебных заведений соответствующих специальностей.

Организаторы: Харьковский государственный политехнический университет, Мишкольцкий университет (Венгрия), Магдебургский университет (Германия), Академия наук высшей школы Украины

Программный комитет: Львов Г.И., Патко Д. (сопредседатели), Грабченко А.И. (зам. председателя), Баженов В.Г., Белов В.К., Бондаренко В.Е., Гудаленко Ю.Г., Загребельный В.Н., Ковач Ф., Космачев С.М., Лисерат Ф., Наний В.В., Некрасов А.П., Новгородцев В.А., Пелих В.Ф., Перерва П.И., Пискляров В.И., Рыщенко М.И., Тарасенко Н.А., Товажнянский Л.Л., Челени Й., Чернышев И.С.

Харьковский государственный политехнический университет,
310002, Харьков-2, Фрунзе, 21

Труды воспроизведены непосредственно с авторских оригиналов

ISBN 966-593-000-1

© Харьковский государственный
политехнический университет,
Мишкольцкий университет,
Магдебургский университет,
1997

ПРИМЕНЕНИЕ ПИНЧ - АНАЛИЗА К ИССЛЕДОВАНИЮ ПРОЦЕССА ПЕРЕГОНКИ СЫРОЙ НЕФТИ

Л.І. Товажнянський, П.А. Капустенко, Л.М. Ульєв, А.Ю. Переvertайленко, Б.Д. Зулин, Харків, Україна
Й Клеменс, Манчестер, Великобританія

The results of heat network optimization for crude oil distillation unit with the help of pinch analysis are represented in this work. For this purpose the detailed investigation of heat streams on the unit was carried out, the mathematical model, which was based on temperature- enthalpy digitization of the system of heat streams and balance ratios between them and also included the cost characteristics of equipment and consumed energy, was worked out. The final design of the heat exchanger network of unit gives the economy of 9 MW of power with pay-back in 10 months.

Основная доля стоимости энергии, потребляемой на НПЗ, приходится на топливо, сжигаемое в печах на установках первичной переработки нефти. Для снижения затрат на НПЗ необходимо более рационально использовать тепловую энергию полученных продуктов.

Сырая нефть перед поступлением в предварительный эвaporатор подогревается в блоке теплообменников первичного подогрева. Величина рекуперируемой энергии в этом блоке в значительной мере определяется расположением теплообменников на технологических потоках.

Задача синтеза теплообменных (ТС) систем, обеспечивающих минимальное потребление энергии от внешних энергоносителей при подводе её к потребителю, является одной из наиболее сложных технических проблем, с которой приходится сталкиваться как при первоначальном проектировании, так и при реконструкции теплосистем промышленных установок.

Сравнение различных методов синтеза ТС [1] показало, что наиболее полно удовлетворяет указанным требованиям метод pinch- анализа, предложенный и развитый проф. Б. Линкофром (UMIST) [2-5]. Пинч - метод основан на термодинамическом анализе системы технологических потоков, а для экономической оптимизации использует немонотонную зависимость приведенной стоимости проекта от наименьшего температурного напора на теплообменном оборудовании [6]. При увеличении ΔT_{min} на теплообменном оборудовании стоимость затрачиваемой энергии возрастает за счет недорекуперации теплоты, а стоимость самого оборудования уменьшается за счет уменьшения поверхности теплообмена, что и приводит к немонотонной зависимости суммарной годовой стоимости внешних теплоносителей и оборудования от ΔT_{min} , а это в свою очередь позволяет определить оптимальное значение ΔT_{min} и для него создавать проект.

Для определения оптимального ΔT_{min} необходимо вычислить значения потребляемой и отводимой от проектируемого процесса энергии, а также величины поверхностей теплообмена, необходимых для размещения на технологических потоках. Для этого в Пинч - анализе используется аппарат составных кривых [3].

Для построения составных кривых выясняются теплофизические и технологические данные потоков, участвующих в теплообмене, т.е. начальные и конечные температуры T_S , T_T ; теплоёмкости С и их массовые расходы M, что позволяет определить их потоковые теплоёмкости $CP = M \cdot C$ и затем изменение их потоковых энталпий в соответствующих температурных интервалах.

$$Q = \int_{T_s}^{T_t} CP \times dT = \Delta H, \text{ если } CP = \text{const}, \text{ то } \Delta H = CP(T_t - T_s).$$

После этого каждый поток можно представить прямым отрезком на энталпийно - температурной плоскости (если $CP = \text{const}$). Аналогично можно изобразить кривые для нескольких горячих или холодных потоков, суммируя CP потоков для каждого температурного интервала, и затем вычисляя общее изменение энталпии в них. Температурные интервалы определяются значениями температур T_s и T_t для соответствующих потоков.

Построение составных кривых достаточно просто алгоритмизируется. Для этого сначала последовательно строится вдоль энталпийной оси горячая, и, сразу за ней, холодная составные кривые. Затем определяем расстояние между кривыми по энталпийной оси во всех точках излома горячей кривой, для которых $\left(\frac{dT}{dH}\right)_{i+1} > \left(\frac{dT}{dH}\right)_i$, и холодной кривой, для которых $\left(\frac{dT}{dH}\right)_{i+1} < \left(\frac{dT}{dH}\right)_i$, определяем минимальное

из этих расстояний и сдвигаем на эту величину холодную кривую влево.

Сейчас кривые касаются в одной из точек, т.е. $\Delta T_{\min} = 0$, что физически соответствует максимальной рекуперации тепла, т.е. бесконечно большой поверхности теплообмена, что практически не выполнимо. Далее двигаем холодную кривую вправо до тех пор, пока в последней из указанных выше точек, либо в крайних точках кривых, расстояние между ними по температурной оси не станет равным ΔT_{\min} . После такого построения легко посчитать интересующие нас мощности.

Место локализации ΔT_{\min} называется пинчом [4,5,7]. Энталпийный интервал, на котором составные кривые перекрываются, показывает рекуперацию тепла в сети теплообменников для данной величины ΔT_{\min} . Не перекрывающийся энталпийный интервал в верхней части кривых определяет мощность, подводимую внешними энергоносителями к технологическому процессу, в нижней части - мощность, которая должна быть отведена внешними хладагентами. Тем самым, еще до начала моделирования сети теплообменников, мы можем установить энергетические цели, которым должен удовлетворять окончательный проект [7].

При известной потребляемой и отводимой мощности и удельной стоимости энергоносителей легко вычислить общую стоимость энергоносителей, потребляемых теплоэнергетической системой. Стоимость теплообменников вычисляем определяя поверхность теплообмена по величине максимальной рекуперации тепла. Далее с помощью итерационной процедуры определяется ΔT_{\min} оптимальное, соответствующее определённой целевой функции (минимум приведенных затрат, минимальное потребление энергии или минимальные капитальные вложения и т.д.)

Сырая нефть, поступающая на колонну атмосферного разделения, сначала нагревается от 30°C до 115°C в блоке теплообменников первичного подогрева горячими потоками мазута, бензина, керосина, тяжёлого и лёгкого дизельного топлива. Затем нефть подвергается на обессоливание, после чего нагревается до 210-220°C за счёт теплообмена с горячим мазутом и нижними циркуляционными орошениями ректификационных колон. Как правило, температура 220°C при этом не достигается, а верхний уровень температуры, связанный с технологическими ограничениями, равен 250°C.

Основная рекуперация тепла на установке происходит в блоке теплообменников первичного подогрева нефти. В обследованной теплосети существует ещё несколько теплообменников, используемых для подогрева потоков рециркуляции колонн.

В исследуемом случае на установке существует 26 технологических потоков. Потоки, у которых теплоёмкость значительно изменяется с температурой, разделены на температурные сегменты, в пределах которых СР можно считать постоянными. Суммируя СР в температурных интервалах для соответствующих потоков, строим составные кривые для холодных и горячих потоков.

В действующей теплообменной сети $\Delta T_{\min} \approx 56^{\circ}\text{C}$, и, чтобы для этого значения определить потребляемую и отводимую с установки мощности, необходимо расположить эти кривые так, чтобы по оси Т минимальное расстояние между ними было 56°C . После такого построения легко посчитать интересующие нас мощности (Рис. 1). Мощность трубчатых печей на действующей установке $Q_H = 76139$ мегаватт, а отводы от установки необходимо $Q_C = 60330$ мегаватт.

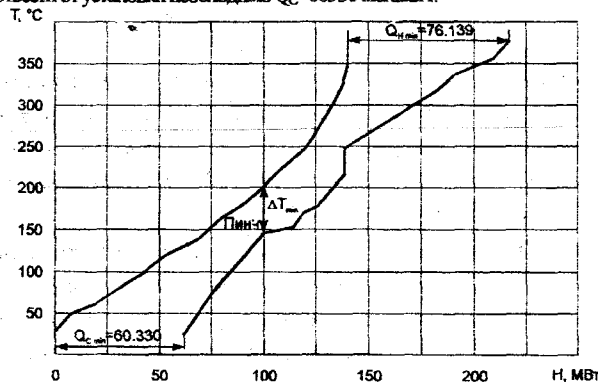


Рис. 1. Составные кривые существующей теплосети установки. Т-температура; Н-поток энтальпии; Q_H -потребляемая мощность от горячих энергоносителей; Q_C -мощность отводимая с установки. 1- горячая составная кривая; 2-холодная.

Определение ΔT_{\min} для реконструкции установки переработки нефти с последующей окупаемостью вложенных средств в течение 10 месяцев дало

величину $\Delta T_{\min} = 35^{\circ}\text{C}$. При этом принимались в расчёт мировые цены на оборудование, его установку, эксплуатацию и используемую энергию. Построение составных кривых для ΔT_{\min} до 35°C и учитывая то, что нефть, поступающую на колонну атмосферного разделения можно нагревать до 250°C , показало возможность уменьшения мощности печей на 10,5 мВт, т.е. на ~15% от существующего потребления энергии, но при этом предполагается возможность полной интеграции потоков.

Выше отмечалось, что нагрев сырой нефти, поступающей на колонну К-1, возможен до 250°C , т.е. все возможные целевые температуры 13 потока находятся выше температуры локализации пинча, а это говорит о том, что топология тепловой сети, близкой к оптимальной, не будет изменяться в пределах возможного изменения целевой температуры 13-го потока.

Сеточная диаграмма для рассматриваемой установки представлена на рис. 2. Здесь показаны верхняя и нижняя температуры пинча, а косыми линиями показаны размещения, переносящие теплоту через пинч.

Сеточная диаграмма существующей теплообменной сети показывает, что существует перенос теплоты через пинч (Рис. 2). Для того чтобы исключить перенос тепла от горячих внешних энергоносителей к хладагентам, будем проектировать сеть теплообменников раздельно выше и ниже пинча.

205.56°C ($\Delta T_{min} = 55.6^\circ C$)

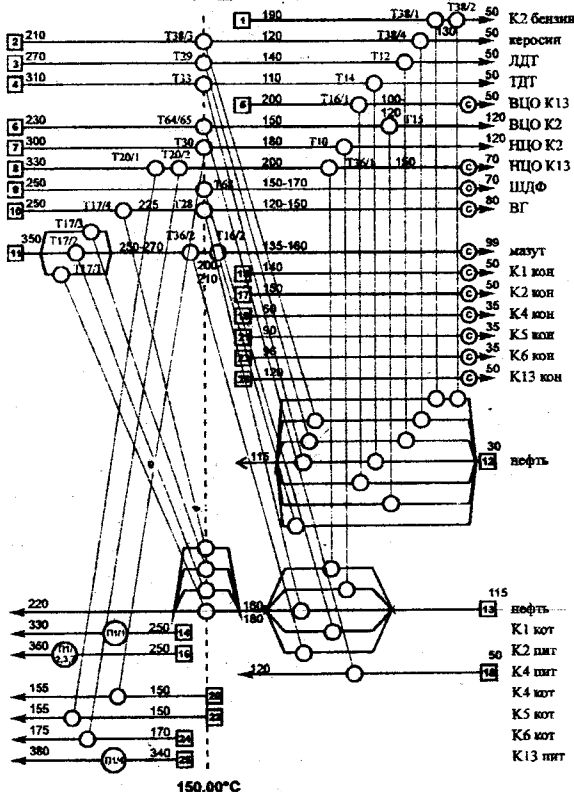


Рис. 2. Схемная диаграмма существующей теплосети установки.

При этом на каждом размещении теплообменников необходимо стараться выдерживать $\Delta T_{min} = 35^\circ C$, а для размещений на температуре пинча это должно быть строгим правилом. На размещенных теплообменниках должны выполняться СР-правила, т.е. $CP_{hot} \leq CP_{cold}$ выше температуры пинча и $CP_{hot} \geq CP_{cold}$ ниже [7], а также отношение $\frac{CP_{hot}}{CP_{cold}}$ на теплообменниках

должны быть близки к этим соотношениям для составных кривых на верхней температуре пинча у теплообменников, размещенных выше пинча, и на нижней температуре пинча для теплообменников, размещенных ниже пинча [8]. Ниже пинча соотношение $\left(\frac{\sum CP_{hot}}{\sum CP_{cold}} \right)_{pinch} \sim 1,4$

на всём интервале перекрытия кривых, поэтому для размещений теплообменников его просто выполнить. На верхней температуре пинча $\left(\frac{\sum CP_{hot}}{\sum CP_{cold}} \right) \sim 0,4$, но на малом энталпийном интервале. На большей части энталпийного интервала выше пинча данное соотношение ~ 1 , поэтому и мы в основном будем придерживаться этой величины.

Дальнейшая эволюция проекта предполагает объединение построенных тепловых сетей выше и ниже температуры пинча. В итоге получаем теплообменную сеть с 23 связями между потоками (Рис.2), т.е. на одно размещение меньше, чем у существующей сети. Общая площадь теплообмена составляет $\sim 18100 m^2$, т.е. на 7,7% больше существующей, но данный проект позволяет нагреть сырую нефть, поступающую на колонну К-1 до $245^\circ C$, т.е. снизить мощность трубчатой печи П1 на 9 МВт, что экономически эквивалентно открытию новой нефтяной скважины. На несколько большую величину $-11 mWt$ снижается нагрузка на холодные энергоносители, т.к. некоторая часть энергии, ранее передававшаяся хладагентам, сейчас используется для дополнительного подогрева нефти.

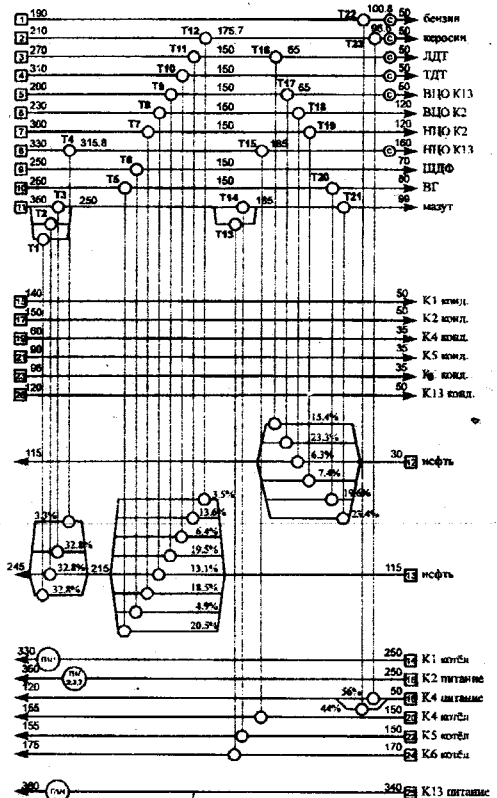


Рис. 3. Окончательный проект теплосети. На распределении потоков показаны процентные соотношения потоковых теплосуммностей.

Снижение нагрузки на хладагенты на 18% позволит уменьшить потребление технической воды с 0,47 м³ на 1 тонну перерабатываемой нефти до 0,38 м³, а это несколько улучшит экологическую обстановку, что очень важно для неблагоприятной в этом отношении Украины.

Обозначения: С- удельная теплоемкость, $Dж/м^2\text{ К}$; СР- потоковая теплоемкость, $кВт/\text{К}$; Н- потоковая энталпия, $кВт$; $Q_{\text{Г}}$ - мощность подводимая к процессу, Вт ; $Q_{\text{с}}$ - мощность отводимая от процесса, Вт ; $Q_{\text{р}}$ - мощность рекуперации в теплообменной сети, Вт ; T, T_s, T_t - температура текущая, начальная и конечная, К ; М- массовый расход, $кг/с$; ВГ- вакуумный газойль; ВЦО- верхнее циркуляционное орошение; кон- конденсатор; кот- котел; К1- предварительный запаратор нефти; К2-основная ректификационная колонна; К3- отпарная четырех секционная колонна; К4- стабилизационная колонна прямоточного бензина; К5- ректификационная колонна для вторичной перегонки бензина.

чения фракций 62–105 °C; К13–колонна для вакуумной перегонки мазута; П–трубные печи; ЛД–легкое дизельное топливо; Н10–найболее циркуляционное орошение; пит–питание; ТДГ–тоже легкое дизельное топливо; ШДФ–широкая дизельная фракция; α –коэффициент теплоотдачи для j^o ; Bt/m^2K ; ΔT_{min} –минимальная разность температур между потоками на теплообменном оборудовании; К. Индекс c – cold–относящийся к холодным потокам; h –относящийся к горячим потокам; pinch–для величин локализованных в точке pincha; S–относящийся к начальным температурам; T–относящийся к конечным температурам.

Список литературы: 1. Клемм И., Пинчик Р. Синтез оптимальной структуры систем теплообмена // ТОХТ. 1987. Т. 21. № 4. С. 488-498. 2. Linnhoff B., Flower J.R. Synthesis of heat exchanger networks: I. Systematic generation of energy optimal network // AIChE J. 1978. Vol.24. P. 633-642. 3. Linnhoff B., Vredeneld D.R. Pinch Technology has come of Age.// Chemical Engineering Progress, July 1984. P 33-40.4. Linnhoff B., Hindmarsh E. The pinch design method for heat exchanger networks // Chem. Engng. Sci. 1983. Vol.38. No. 5. P. 745-763. 5. Linnhoff B. Pinch technology for the synthesis of optimal heat and power system // Journal of Energy Resources technology. 1989. Vol. 3.No. 9. P. 137-147. 6. Linnhoff B., Ahmad S. SUPERTAGETING: Optimum synthesis energy management system // ASME Journal of Energy Resource Technology. 1989. Vol. 111. P. 121-130. 7. Linnhoff B., Townsend D.W., et al. User guide on process integration for the efficient use of energy. IChemE, Rugby, UK 1991 (New addition 1994) P. 247 (P. 49 +247). 8. Linnhoff B., Ahmad S. Cost optimum heat exchanger networks - 1. Minimum energy and capital using simple model for capital cost // Computers and Chemical Engng. 1990. Vol. 14. No. 7. P. 729-750.